

Eingabe: Farbmétrisches Drucker-Reflektiv-System FRS06

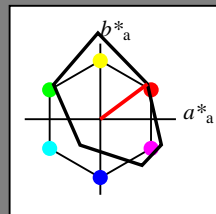
für Buntton $h^* = lab \cdot h = 37/360 = 0.102$

$lab \cdot tch$ und $lab \cdot nch$

D65: Buntton O

LCH*Ma: 33 78 37

olv*Ma: 1.0 0.0 0.0



FRS06; adaptierte CIELAB-Daten

| | $L^* = L^*_a$ | a^*_a | b^*_a | $C^*_{ab,a}$ | $h^*_{ab,a}$ |
|------------------|---------------|---------|---------|--------------|--------------|
| O _m | 32.57 | 62.32 | 46.49 | 77.75 | 37 |
| Y _m | 82.73 | -3.16 | 113.99 | 114.03 | 92 |
| L _m | 39.43 | -61.79 | 45.84 | 76.95 | 143 |
| C _m | 47.86 | -26.79 | -34.24 | 43.49 | 232 |
| V _m | 10.16 | 55.12 | -61.03 | 82.24 | 312 |
| M _m | 34.5 | 80.68 | -33.92 | 87.52 | 337 |
| N _m | 6.25 | 0.0 | 0.0 | 0.0 | 0 |
| W _m | 91.97 | 0.0 | 0.0 | 0.0 | 0 |
| R _{CIE} | 39.92 | 59.8 | 31.05 | 67.38 | 27 |
| J _{CIE} | 81.26 | -2.52 | 76.25 | 76.29 | 92 |
| G _{CIE} | 52.23 | -41.56 | 17.14 | 44.96 | 158 |
| B _{CIE} | 30.57 | 2.63 | -43.77 | 43.86 | 273 |

Dreiecks-Helligkeit t^*

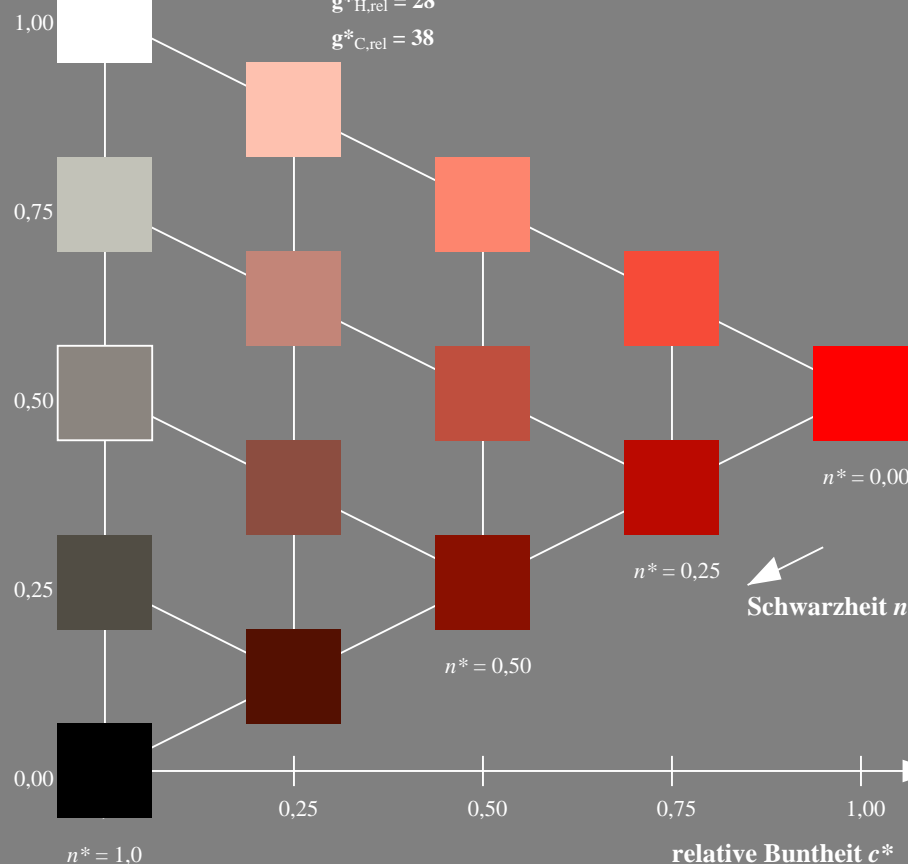
%Umfang

$u^*_{rel} = 115$

%Regularität

$g^*_{H,rel} = 28$

$g^*_{C,rel} = 38$



VG220-7, 5 stufige Reihen für konstanten CIELAB Buntton 37/360 = 0.102 (links)

Ausgabe: Farbmétrisches Drucker-Reflektiv-System FRS06

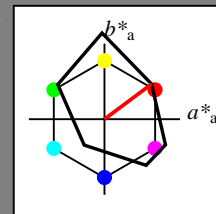
für Buntton $h^* = lab \cdot h = 37/360 = 0.102$

$LAB \cdot LCH$, $LAB \cdot NCH$

D65: Buntton O

LCH*Ma: 33 78 37

olv*Ma: 1.0 0.0 0.0



FRS06; adaptierte CIELAB-Daten

| | $L^* = L^*_a$ | a^*_a | b^*_a | $C^*_{ab,a}$ | $h^*_{ab,a}$ |
|------------------|---------------|---------|---------|--------------|--------------|
| O _m | 32.57 | 62.32 | 46.49 | 77.75 | 37 |
| Y _m | 82.73 | -3.16 | 113.99 | 114.03 | 92 |
| L _m | 39.43 | -61.79 | 45.84 | 76.95 | 143 |
| C _m | 47.86 | -26.79 | -34.24 | 43.49 | 232 |
| V _m | 10.16 | 55.12 | -61.03 | 82.24 | 312 |
| M _m | 34.5 | 80.68 | -33.92 | 87.52 | 337 |
| N _m | 6.25 | 0.0 | 0.0 | 0.0 | 0 |
| W _m | 91.97 | 0.0 | 0.0 | 0.0 | 0 |
| R _{CIE} | 39.92 | 59.8 | 31.05 | 67.38 | 27 |
| J _{CIE} | 81.26 | -2.52 | 76.25 | 76.29 | 92 |
| G _{CIE} | 52.23 | -41.56 | 17.14 | 44.96 | 158 |
| B _{CIE} | 30.57 | 2.63 | -43.77 | 43.86 | 273 |

CIELAB-Helligkeit L^*

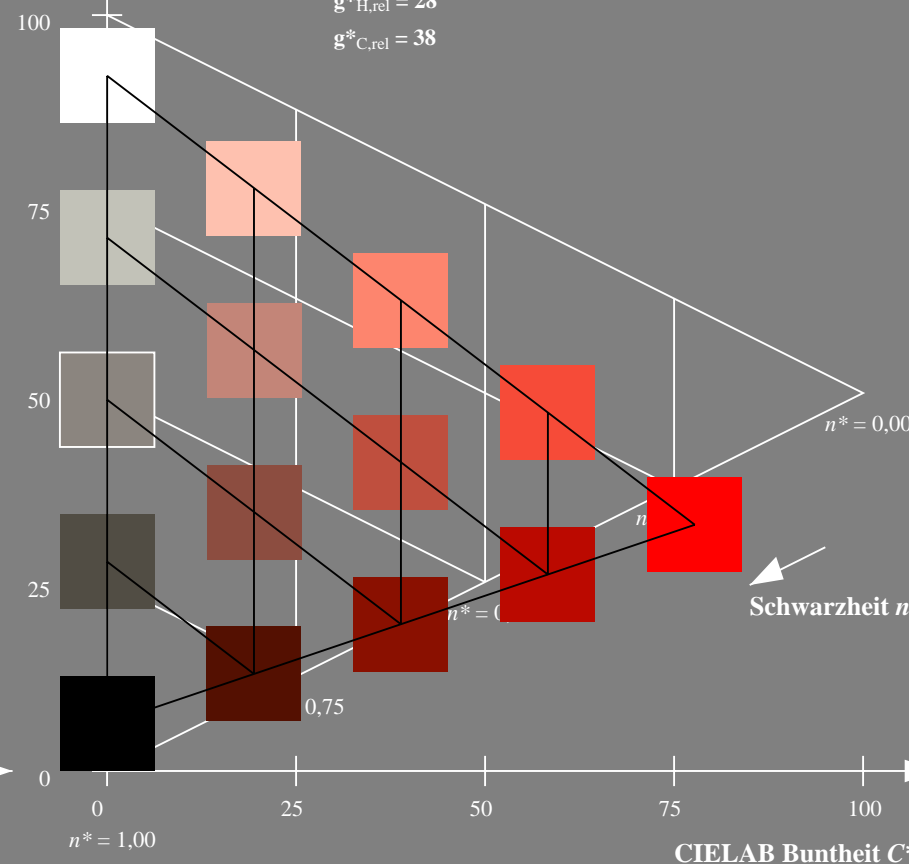
%Umfang

$u^*_{rel} = 115$

%Regularität

$g^*_{H,rel} = 28$

$g^*_{C,rel} = 38$



5 stufige Reihen für konstanten CIELAB Buntton 37/360 = 0.102 (rechts)

BAM-Prüfvorlage VG22; Farbmétrik-Systeme FRS06 & FRS06 input: $olv \cdot setrgbcolor$
D65: Koordinatensysteme; 5stufige Farbreihen für 10 Bunttöne output: $olv \cdot (TRI9) setrgbcolor$

Eingabe: Farbmétrisches Drucker-Reflektiv-System FRS06

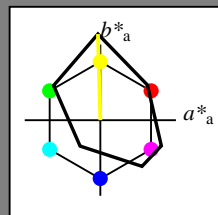
für Buntton $h^* = lab \cdot h = 92/360 = 0.254$

$lab \cdot tch$ und $lab \cdot nch$

D65: Buntton Y

LCH*Ma: 83 114 92

olv*Ma: 1.0 1.0 0.0



FRS06; adaptierte CIELAB-Daten

| | $L^* = L^*_a$ | a^*_a | b^*_a | $C^*_{ab,a}$ | $h^*_{ab,a}$ |
|------------------|---------------|---------|---------|--------------|--------------|
| O _m | 32.57 | 62.32 | 46.49 | 77.75 | 37 |
| Y _m | 82.73 | -3.16 | 113.99 | 114.03 | 92 |
| L _m | 39.43 | -61.79 | 45.84 | 76.95 | 143 |
| C _m | 47.86 | -26.79 | -34.24 | 43.49 | 232 |
| V _m | 10.16 | 55.12 | -61.03 | 82.24 | 312 |
| M _m | 34.5 | 80.68 | -33.92 | 87.52 | 337 |
| N _m | 6.25 | 0.0 | 0.0 | 0.0 | 0 |
| W _m | 91.97 | 0.0 | 0.0 | 0.0 | 0 |
| R _{CIE} | 39.92 | 59.8 | 31.05 | 67.38 | 27 |
| J _{CIE} | 81.26 | -2.52 | 76.25 | 76.29 | 92 |
| G _{CIE} | 52.23 | -41.56 | 17.14 | 44.96 | 158 |
| B _{CIE} | 30.57 | 2.63 | -43.77 | 43.86 | 273 |

Dreiecks-Helligkeit t^*

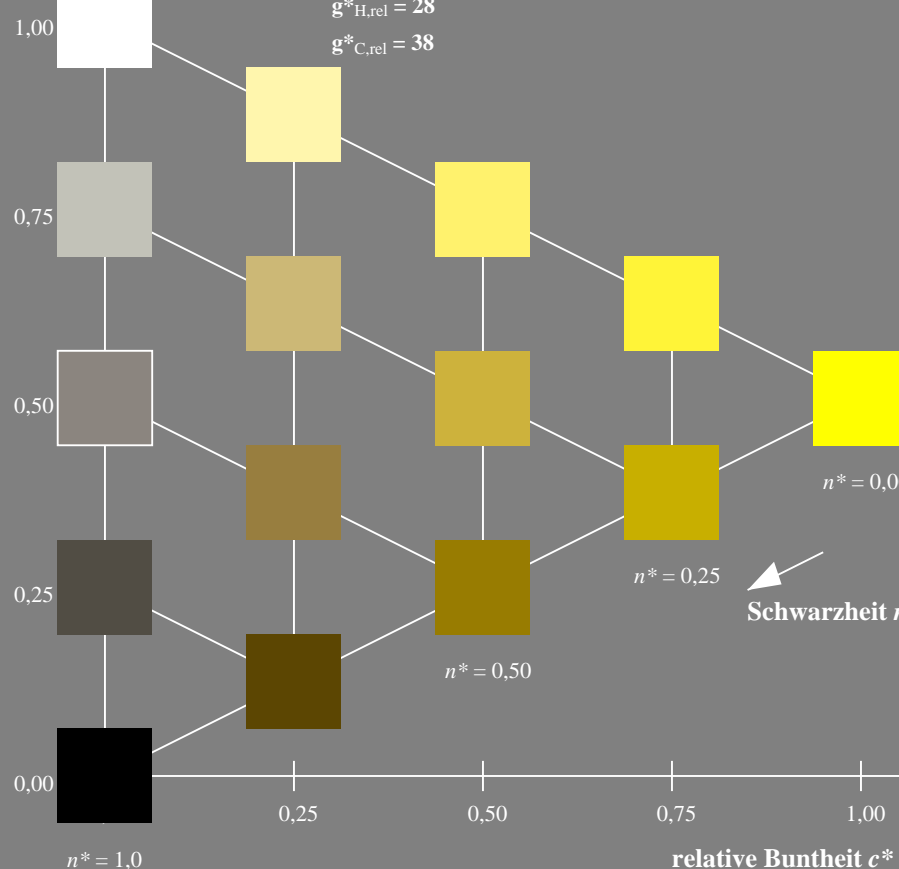
%Umfang

$u^*_{rel} = 115$

%Regularität

$g^*_{H,rel} = 28$

$g^*_{C,rel} = 38$



VG220-7, 5 stufige Reihen für konstanten CIELAB Buntton 92/360 = 0.254 (links)

Ausgabe: Farbmétrisches Drucker-Reflektiv-System FRS06

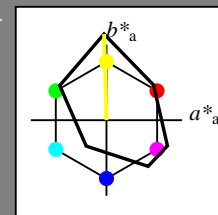
für Buntton $h^* = lab \cdot h = 92/360 = 0.254$

$LAB \cdot LCH$, $LAB \cdot NCH$

D65: Buntton Y

LCH*Ma: 83 114 92

olv*Ma: 1.0 1.0 0.0



FRS06; adaptierte CIELAB-Daten

| | $L^* = L^*_a$ | a^*_a | b^*_a | $C^*_{ab,a}$ | $h^*_{ab,a}$ |
|------------------|---------------|---------|---------|--------------|--------------|
| O _m | 32.57 | 62.32 | 46.49 | 77.75 | 37 |
| Y _m | 82.73 | -3.16 | 113.99 | 114.03 | 92 |
| L _m | 39.43 | -61.79 | 45.84 | 76.95 | 143 |
| C _m | 47.86 | -26.79 | -34.24 | 43.49 | 232 |
| V _m | 10.16 | 55.12 | -61.03 | 82.24 | 312 |
| M _m | 34.5 | 80.68 | -33.92 | 87.52 | 337 |
| N _m | 6.25 | 0.0 | 0.0 | 0.0 | 0 |
| W _m | 91.97 | 0.0 | 0.0 | 0.0 | 0 |
| R _{CIE} | 39.92 | 59.8 | 31.05 | 67.38 | 27 |
| J _{CIE} | 81.26 | -2.52 | 76.25 | 76.29 | 92 |
| G _{CIE} | 52.23 | -41.56 | 17.14 | 44.96 | 158 |
| B _{CIE} | 30.57 | 2.63 | -43.77 | 43.86 | 273 |

CIELAB-Helligkeit L^*

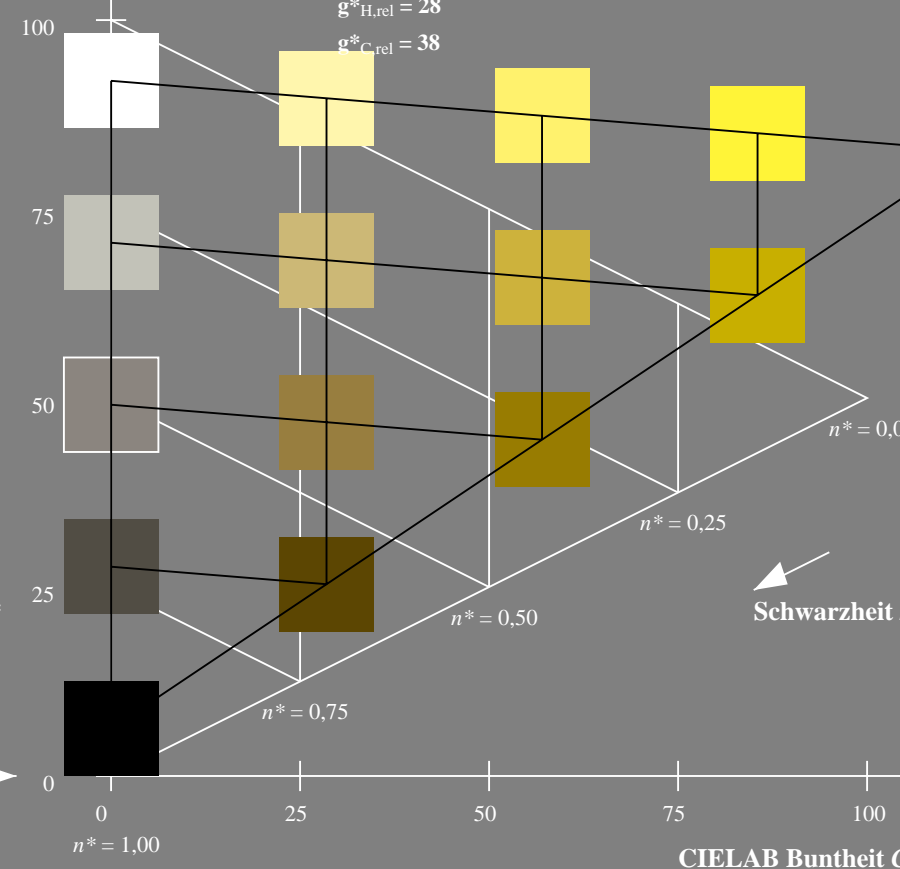
%Umfang

$u^*_{rel} = 115$

%Regularität

$g^*_{H,rel} = 28$

$g^*_{C,rel} = 38$



5 stufige Reihen für konstanten CIELAB Buntton 92/360 = 0.254 (rechts)

Eingabe: Farbmétrisches Drucker-Reflektiv-System FRS06

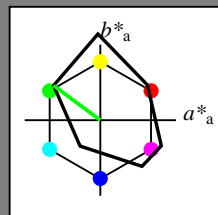
für Buntton $h^* = lab^*h = 143/360 = 0.398$

lab^*tch und lab^*nch

D65: Buntton L

LCH*Ma: 39 77 143

olv*Ma: 0.0 1.0 0.0



FRS06; adaptierte CIELAB-Daten

| | $L^*=L^*_a$ | a^*_a | b^*_a | $C^*_{ab,a}$ | $h^*_{ab,a}$ |
|------------------|-------------|---------|---------|--------------|--------------|
| O _m | 32.57 | 62.32 | 46.49 | 77.75 | 37 |
| Y _m | 82.73 | -3.16 | 113.99 | 114.03 | 92 |
| L _m | 39.43 | -61.79 | 45.84 | 76.95 | 143 |
| C _m | 47.86 | -26.79 | -34.24 | 43.49 | 232 |
| V _m | 10.16 | 55.12 | -61.03 | 82.24 | 312 |
| M _m | 34.5 | 80.68 | -33.92 | 87.52 | 337 |
| N _m | 6.25 | 0.0 | 0.0 | 0.0 | 0 |
| W _m | 91.97 | 0.0 | 0.0 | 0.0 | 0 |
| R _{CIE} | 39.92 | 59.8 | 31.05 | 67.38 | 27 |
| J _{CIE} | 81.26 | -2.52 | 76.25 | 76.29 | 92 |
| G _{CIE} | 52.23 | -41.56 | 17.14 | 44.96 | 158 |
| B _{CIE} | 30.57 | 2.63 | -43.77 | 43.86 | 273 |

Dreiecks-Helligkeit t^*

1,00

0,75

0,50

0,25

0,00

%Umfang

$u^*_{rel} = 115$

%Regularität

$g^*_{H,rel} = 28$

$g^*_{C,rel} = 38$

$n^* = 0,00$

$n^* = 0,25$

$n^* = 0,50$

$n^* = 1,0$

relative Buntheit c^*

VG220-7, 5 stufige Reihen für konstanten CIELAB Buntton 143/360 = 0.398 (links)

Ausgabe: Farbmétrisches Drucker-Reflektiv-System FRS06

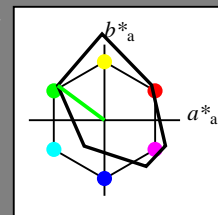
für Buntton $h^* = lab^*h = 143/360 = 0.398$

LAB^*LCH , LAB^*NCH

D65: Buntton L

LCH*Ma: 39 77 143

olv*Ma: 0.0 1.0 0.0



FRS06; adaptierte CIELAB-Daten

| | $L^*=L^*_a$ | a^*_a | b^*_a | $C^*_{ab,a}$ | $h^*_{ab,a}$ |
|------------------|-------------|---------|---------|--------------|--------------|
| O _m | 32.57 | 62.32 | 46.49 | 77.75 | 37 |
| Y _m | 82.73 | -3.16 | 113.99 | 114.03 | 92 |
| L _m | 39.43 | -61.79 | 45.84 | 76.95 | 143 |
| C _m | 47.86 | -26.79 | -34.24 | 43.49 | 232 |
| V _m | 10.16 | 55.12 | -61.03 | 82.24 | 312 |
| M _m | 34.5 | 80.68 | -33.92 | 87.52 | 337 |
| N _m | 6.25 | 0.0 | 0.0 | 0.0 | 0 |
| W _m | 91.97 | 0.0 | 0.0 | 0.0 | 0 |
| R _{CIE} | 39.92 | 59.8 | 31.05 | 67.38 | 27 |
| J _{CIE} | 81.26 | -2.52 | 76.25 | 76.29 | 92 |
| G _{CIE} | 52.23 | -41.56 | 17.14 | 44.96 | 158 |
| B _{CIE} | 30.57 | 2.63 | -43.77 | 43.86 | 273 |

CIELAB-Helligkeit L^*

100

75

50

25

0

%Umfang

$u^*_{rel} = 115$

%Regularität

$g^*_{H,rel} = 28$

$g^*_{C,rel} = 38$

$n^* = 0,00$

$n^* = 0,50$

$n^* = 1,00$

CIELAB Buntheit C^*_{ab}

5 stufige Reihen für konstanten CIELAB Buntton 143/360 = 0.398 (rechts)

BAM-Prüfvorlage VG22; Farbmétrik-Systeme FRS06 & FRS06 input: olv* setrgbcolor

D65: Koordinatensysteme; 5stufige Farbreihen für 10 Bunttöne output: olv*' (TRI9) setrgbcolor

Eingabe: Farbmétrisches Drucker-Reflektiv-System FRS06

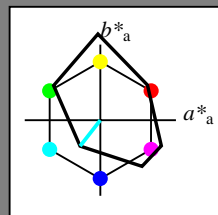
für Buntton $h^* = lab^*h = 232/360 = 0.644$

lab^*tch und lab^*nch

D65: Buntton C

LCH*Ma: 48 43 232

olv*Ma: 0.0 1.0 1.0



FRS06; adaptierte CIELAB-Daten

| | $L^*=L^*_a$ | a^*_a | b^*_a | $C^*_{ab,a}$ | $h^*_{ab,a}$ |
|------------------|-------------|---------|---------|--------------|--------------|
| O _m | 32.57 | 62.32 | 46.49 | 77.75 | 37 |
| Y _m | 82.73 | -3.16 | 113.99 | 114.03 | 92 |
| L _m | 39.43 | -61.79 | 45.84 | 76.95 | 143 |
| C _m | 47.86 | -26.79 | -34.24 | 43.49 | 232 |
| V _m | 10.16 | 55.12 | -61.03 | 82.24 | 312 |
| M _m | 34.5 | 80.68 | -33.92 | 87.52 | 337 |
| N _m | 6.25 | 0.0 | 0.0 | 0.0 | 0 |
| W _m | 91.97 | 0.0 | 0.0 | 0.0 | 0 |
| R _{CIE} | 39.92 | 59.8 | 31.05 | 67.38 | 27 |
| J _{CIE} | 81.26 | -2.52 | 76.25 | 76.29 | 92 |
| G _{CIE} | 52.23 | -41.56 | 17.14 | 44.96 | 158 |
| B _{CIE} | 30.57 | 2.63 | -43.77 | 43.86 | 273 |

Dreiecks-Helligkeit t^*

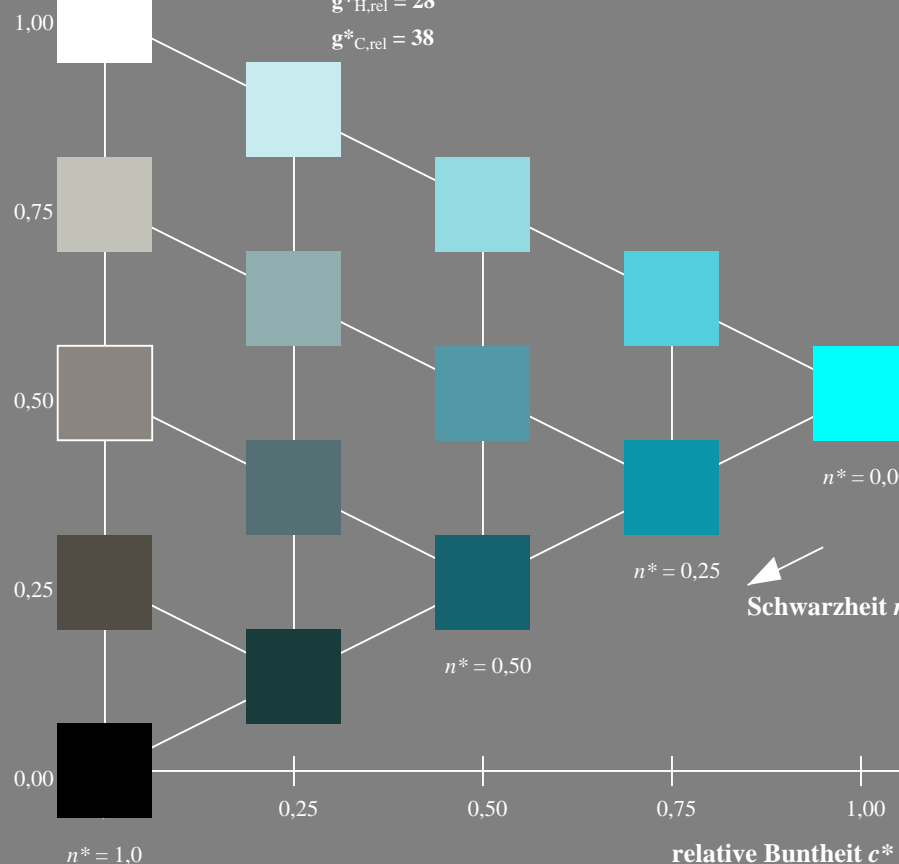
%Umfang

$u^*_{rel} = 115$

%Regularität

$g^*_{H,rel} = 28$

$g^*_{C,rel} = 38$



VG220-7, 5 stufige Reihen für konstanten CIELAB Buntton 232/360 = 0.644 (links)

Ausgabe: Farbmétrisches Drucker-Reflektiv-System FRS06

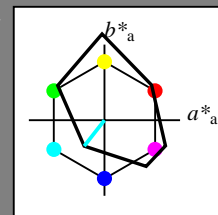
für Buntton $h^* = lab^*h = 232/360 = 0.644$

LAB^*LCH , LAB^*NCH

D65: Buntton C

LCH*Ma: 48 43 232

olv*Ma: 0.0 1.0 1.0



FRS06; adaptierte CIELAB-Daten

| | $L^*=L^*_a$ | a^*_a | b^*_a | $C^*_{ab,a}$ | $h^*_{ab,a}$ |
|------------------|-------------|---------|---------|--------------|--------------|
| O _m | 32.57 | 62.32 | 46.49 | 77.75 | 37 |
| Y _m | 82.73 | -3.16 | 113.99 | 114.03 | 92 |
| L _m | 39.43 | -61.79 | 45.84 | 76.95 | 143 |
| C _m | 47.86 | -26.79 | -34.24 | 43.49 | 232 |
| V _m | 10.16 | 55.12 | -61.03 | 82.24 | 312 |
| M _m | 34.5 | 80.68 | -33.92 | 87.52 | 337 |
| N _m | 6.25 | 0.0 | 0.0 | 0.0 | 0 |
| W _m | 91.97 | 0.0 | 0.0 | 0.0 | 0 |
| R _{CIE} | 39.92 | 59.8 | 31.05 | 67.38 | 27 |
| J _{CIE} | 81.26 | -2.52 | 76.25 | 76.29 | 92 |
| G _{CIE} | 52.23 | -41.56 | 17.14 | 44.96 | 158 |
| B _{CIE} | 30.57 | 2.63 | -43.77 | 43.86 | 273 |

CIELAB-Helligkeit L^*

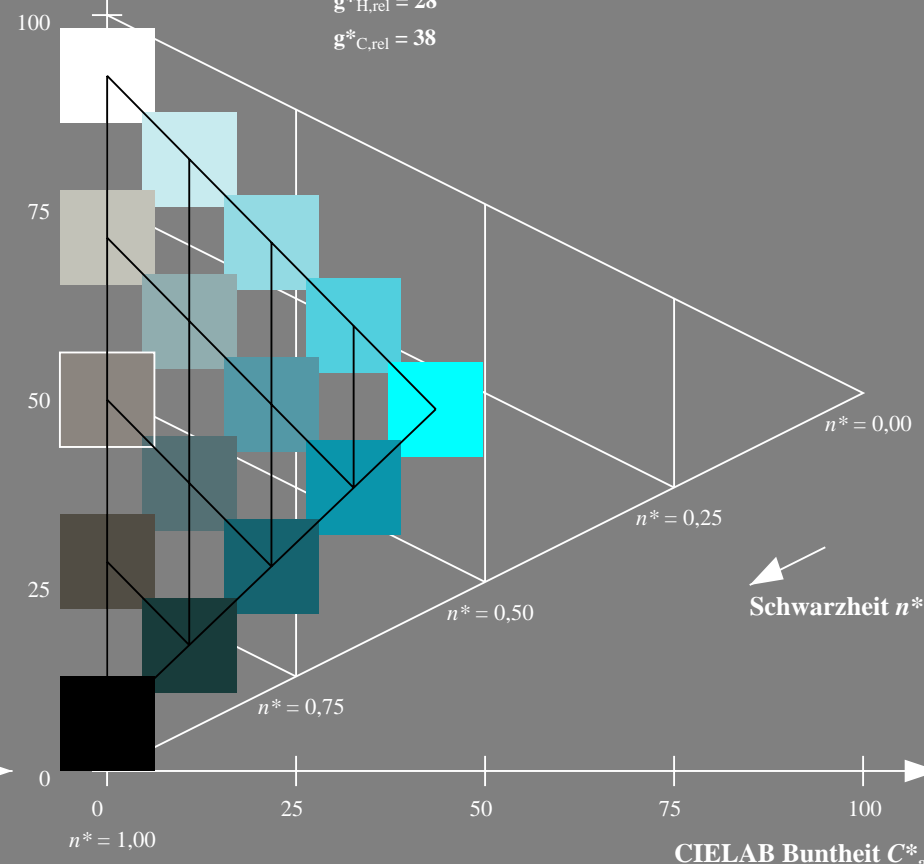
%Umfang

$u^*_{rel} = 115$

%Regularität

$g^*_{H,rel} = 28$

$g^*_{C,rel} = 38$



5 stufige Reihen für konstanten CIELAB Buntton 232/360 = 0.644 (rechts)

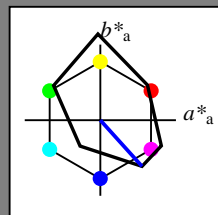
BAM-Prüfvorlage VG22; Farbmétrik-Systeme FRS06 & FRS06 input: $olv^*setrgbcolor$

D65: Koordinatensysteme; 5stufige Farbreihen für 10 Bunttöne output: olv^* (TRI9) $setrgbcolor$

Eingabe: Farbmétrisches Drucker-Reflektiv-System FRS06

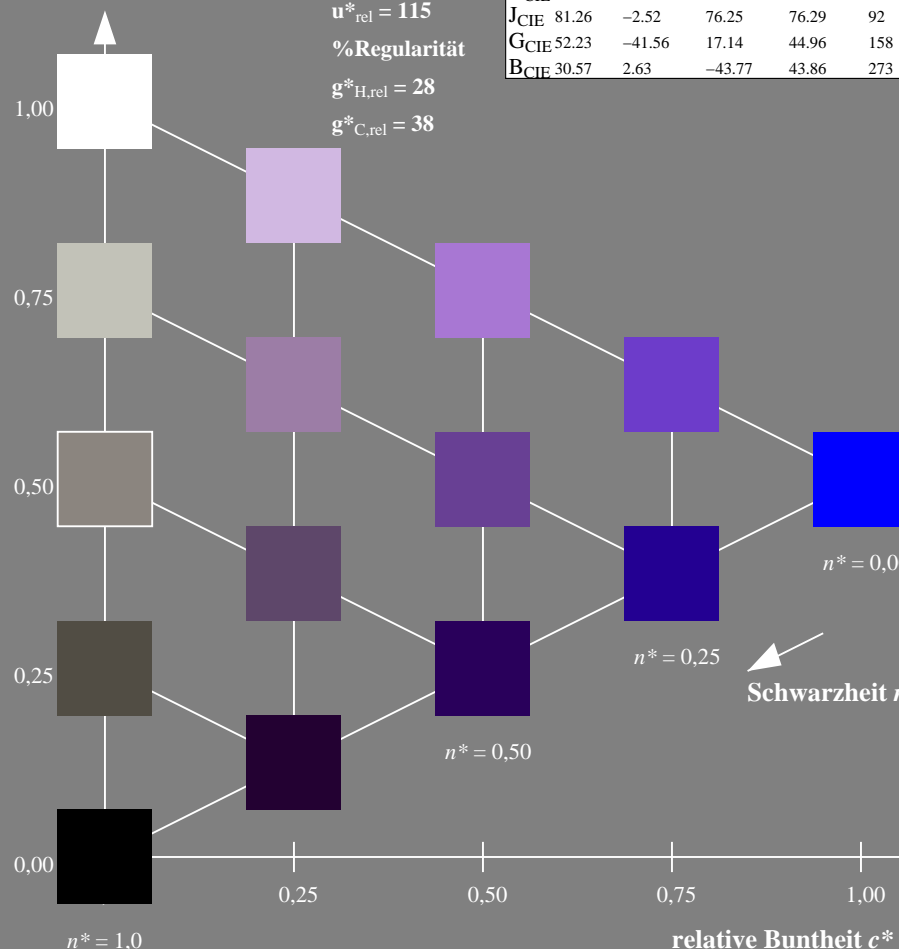
für Buntton $h^* = lab \cdot h = 312/360 = 0.867$
 $lab \cdot tch$ und $lab \cdot nch$

D65: Buntton V
LCH*Ma: 10 82 312
olv*Ma: 0.0 0.0 1.0



| FRS06; adaptierte CIELAB-Daten | | | | | |
|--------------------------------|-------------|---------|---------|--------------|--------------|
| | $L^*=L^*_a$ | a^*_a | b^*_a | $C^*_{ab,a}$ | $h^*_{ab,a}$ |
| O _m | 32.57 | 62.32 | 46.49 | 77.75 | 37 |
| Y _m | 82.73 | -3.16 | 113.99 | 114.03 | 92 |
| L _m | 39.43 | -61.79 | 45.84 | 76.95 | 143 |
| C _m | 47.86 | -26.79 | -34.24 | 43.49 | 232 |
| V _m | 10.16 | 55.12 | -61.03 | 82.24 | 312 |
| M _m | 34.5 | 80.68 | -33.92 | 87.52 | 337 |
| N _m | 6.25 | 0.0 | 0.0 | 0.0 | 0 |
| W _m | 91.97 | 0.0 | 0.0 | 0.0 | 0 |
| R _{CIE} | 39.92 | 59.8 | 31.05 | 67.38 | 27 |
| J _{CIE} | 81.26 | -2.52 | 76.25 | 76.29 | 92 |
| G _{CIE} | 52.23 | -41.56 | 17.14 | 44.96 | 158 |
| B _{CIE} | 30.57 | 2.63 | -43.77 | 43.86 | 273 |

Dreiecks-Helligkeit t^*

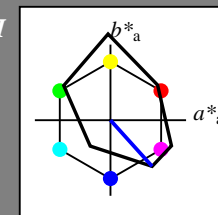


VG220-7, 5 stufige Reihen für konstanten CIELAB Buntton 312/360 = 0.867 (links)

Ausgabe: Farbmétrisches Drucker-Reflektiv-System FRS06

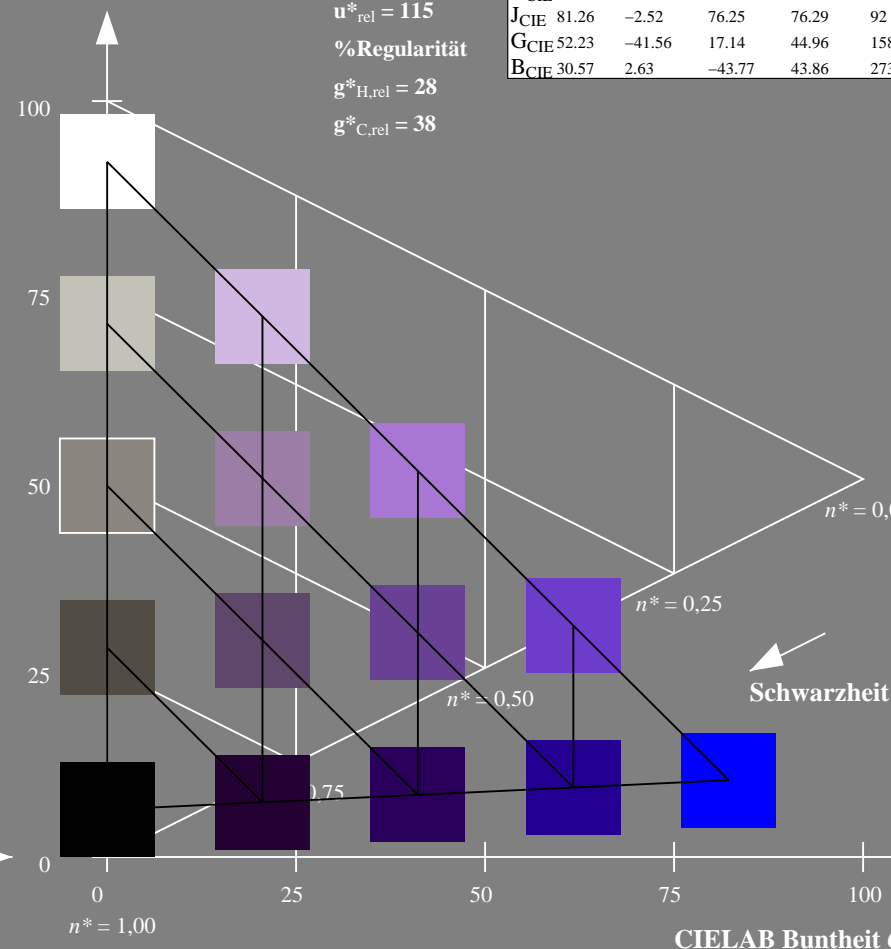
für Buntton $h^* = lab \cdot h = 312/360 = 0.867$
 $LAB \cdot LCH$, $LAB \cdot NCH$

D65: Buntton V
LCH*Ma: 10 82 312
olv*Ma: 0.0 0.0 1.0



| FRS06; adaptierte CIELAB-Daten | | | | | |
|--------------------------------|-------------|---------|---------|--------------|--------------|
| | $L^*=L^*_a$ | a^*_a | b^*_a | $C^*_{ab,a}$ | $h^*_{ab,a}$ |
| O _m | 32.57 | 62.32 | 46.49 | 77.75 | 37 |
| Y _m | 82.73 | -3.16 | 113.99 | 114.03 | 92 |
| L _m | 39.43 | -61.79 | 45.84 | 76.95 | 143 |
| C _m | 47.86 | -26.79 | -34.24 | 43.49 | 232 |
| V _m | 10.16 | 55.12 | -61.03 | 82.24 | 312 |
| M _m | 34.5 | 80.68 | -33.92 | 87.52 | 337 |
| N _m | 6.25 | 0.0 | 0.0 | 0.0 | 0 |
| W _m | 91.97 | 0.0 | 0.0 | 0.0 | 0 |
| R _{CIE} | 39.92 | 59.8 | 31.05 | 67.38 | 27 |
| J _{CIE} | 81.26 | -2.52 | 76.25 | 76.29 | 92 |
| G _{CIE} | 52.23 | -41.56 | 17.14 | 44.96 | 158 |
| B _{CIE} | 30.57 | 2.63 | -43.77 | 43.86 | 273 |

CIELAB-Helligkeit L^*



5 stufige Reihen für konstanten CIELAB Buntton 312/360 = 0.867 (rechts)

BAM-Prüfvorlage VG22; Farbmétrik-Systeme FRS06 & FRS06 input: olv* setrgbcolor
D65: Koordinatensysteme; 5stufige Farbreihen für 10 Bunttöne output: olv*' (TRI9) setrgbcolor

Eingabe: Farbmétrisches Drucker-Reflektiv-System FRS06

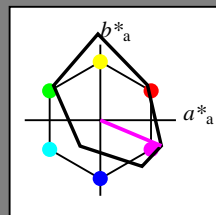
für Buntton $h^* = lab \cdot h = 337/360 = 0.937$

$lab \cdot tch$ und $lab \cdot nch$

D65: Buntton M

LCH*Ma: 35 88 337

olv*Ma: 1.0 0.0 1.0



FRS06; adaptierte CIELAB-Daten

| | $L^*=L^*_a$ | a^*_a | b^*_a | $C^*_{ab,a}$ | $h^*_{ab,a}$ |
|------------------|-------------|---------|---------|--------------|--------------|
| O _m | 32.57 | 62.32 | 46.49 | 77.75 | 37 |
| Y _m | 82.73 | -3.16 | 113.99 | 114.03 | 92 |
| L _m | 39.43 | -61.79 | 45.84 | 76.95 | 143 |
| C _m | 47.86 | -26.79 | -34.24 | 43.49 | 232 |
| V _m | 10.16 | 55.12 | -61.03 | 82.24 | 312 |
| M _m | 34.5 | 80.68 | -33.92 | 87.52 | 337 |
| N _m | 6.25 | 0.0 | 0.0 | 0.0 | 0 |
| W _m | 91.97 | 0.0 | 0.0 | 0.0 | 0 |
| R _{CIE} | 39.92 | 59.8 | 31.05 | 67.38 | 27 |
| J _{CIE} | 81.26 | -2.52 | 76.25 | 76.29 | 92 |
| G _{CIE} | 52.23 | -41.56 | 17.14 | 44.96 | 158 |
| B _{CIE} | 30.57 | 2.63 | -43.77 | 43.86 | 273 |

Dreiecks-Helligkeit t^*

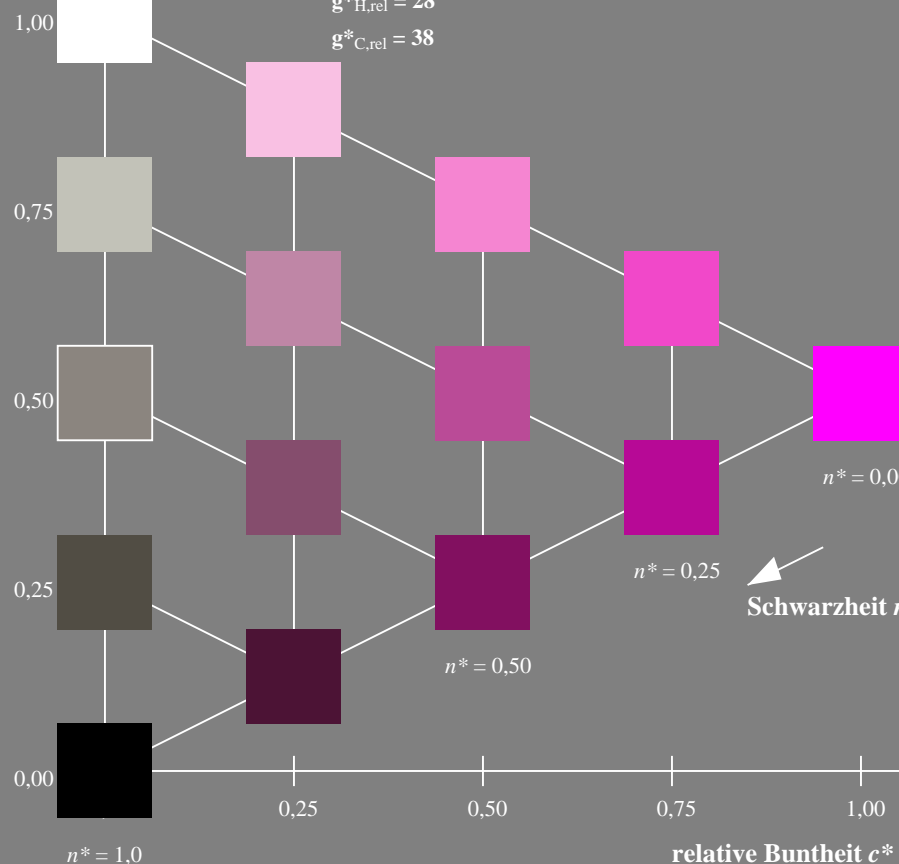
%Umfang

$u^*_{rel} = 115$

%Regularität

$g^*_{H,rel} = 28$

$g^*_{C,rel} = 38$



VG220-7, 5 stufige Reihen für konstanten CIELAB Buntton 337/360 = 0.937 (links)

Ausgabe: Farbmétrisches Drucker-Reflektiv-System FRS06

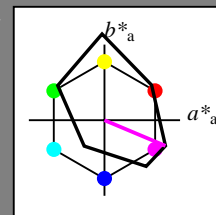
für Buntton $h^* = lab \cdot h = 337/360 = 0.937$

$LAB \cdot LCH$, $LAB \cdot NCH$

D65: Buntton M

LCH*Ma: 35 88 337

olv*Ma: 1.0 0.0 1.0



FRS06; adaptierte CIELAB-Daten

| | $L^*=L^*_a$ | a^*_a | b^*_a | $C^*_{ab,a}$ | $h^*_{ab,a}$ |
|------------------|-------------|---------|---------|--------------|--------------|
| O _m | 32.57 | 62.32 | 46.49 | 77.75 | 37 |
| Y _m | 82.73 | -3.16 | 113.99 | 114.03 | 92 |
| L _m | 39.43 | -61.79 | 45.84 | 76.95 | 143 |
| C _m | 47.86 | -26.79 | -34.24 | 43.49 | 232 |
| V _m | 10.16 | 55.12 | -61.03 | 82.24 | 312 |
| M _m | 34.5 | 80.68 | -33.92 | 87.52 | 337 |
| N _m | 6.25 | 0.0 | 0.0 | 0.0 | 0 |
| W _m | 91.97 | 0.0 | 0.0 | 0.0 | 0 |
| R _{CIE} | 39.92 | 59.8 | 31.05 | 67.38 | 27 |
| J _{CIE} | 81.26 | -2.52 | 76.25 | 76.29 | 92 |
| G _{CIE} | 52.23 | -41.56 | 17.14 | 44.96 | 158 |
| B _{CIE} | 30.57 | 2.63 | -43.77 | 43.86 | 273 |

CIELAB-Helligkeit L^*

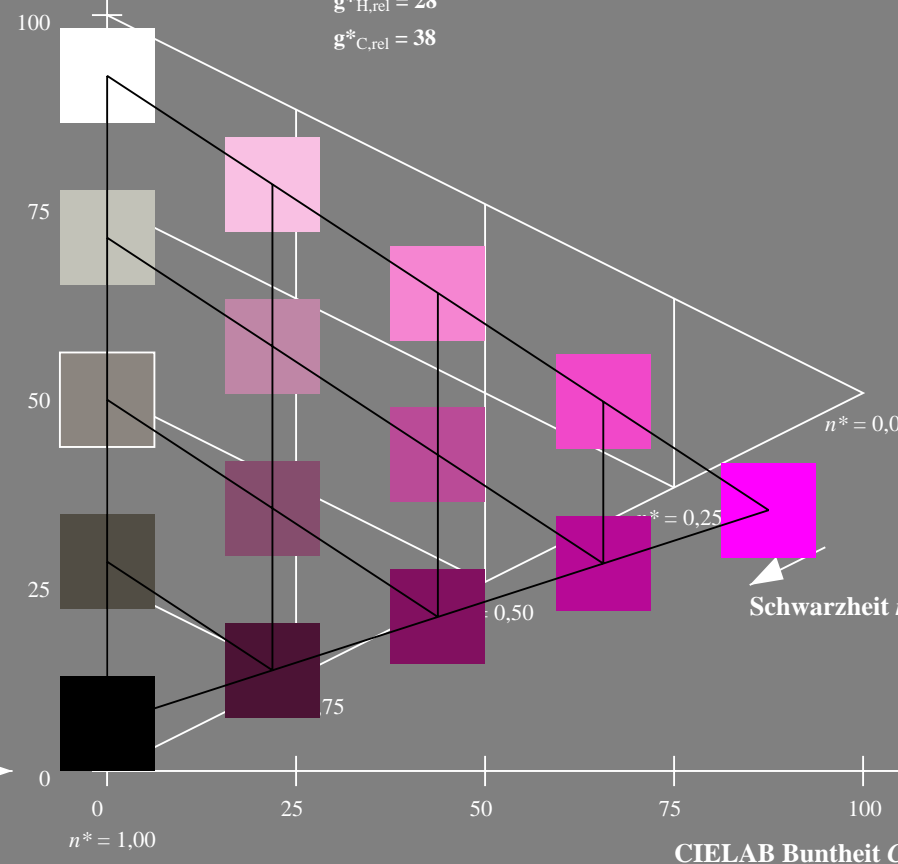
%Umfang

$u^*_{rel} = 115$

%Regularität

$g^*_{H,rel} = 28$

$g^*_{C,rel} = 38$



5 stufige Reihen für konstanten CIELAB Buntton 337/360 = 0.937 (rechts)

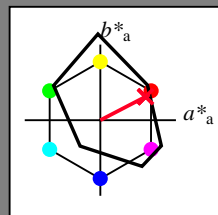
BAM-Prüfvorlage VG22; Farbmétrik-Systeme FRS06 & FRS06 input: $olv \cdot setrgbcolor$

D65: Koordinatensysteme; 5stufige Farbreihen für 10 Bunttöne output: $olv \cdot (TRI9) setrgbcolor$

Eingabe: Farbmétrisches Drucker-Reflektiv-System FRS06

für Buntton $h^* = lab^*h = 27/360 = 0.076$
 lab^*tch und lab^*nch

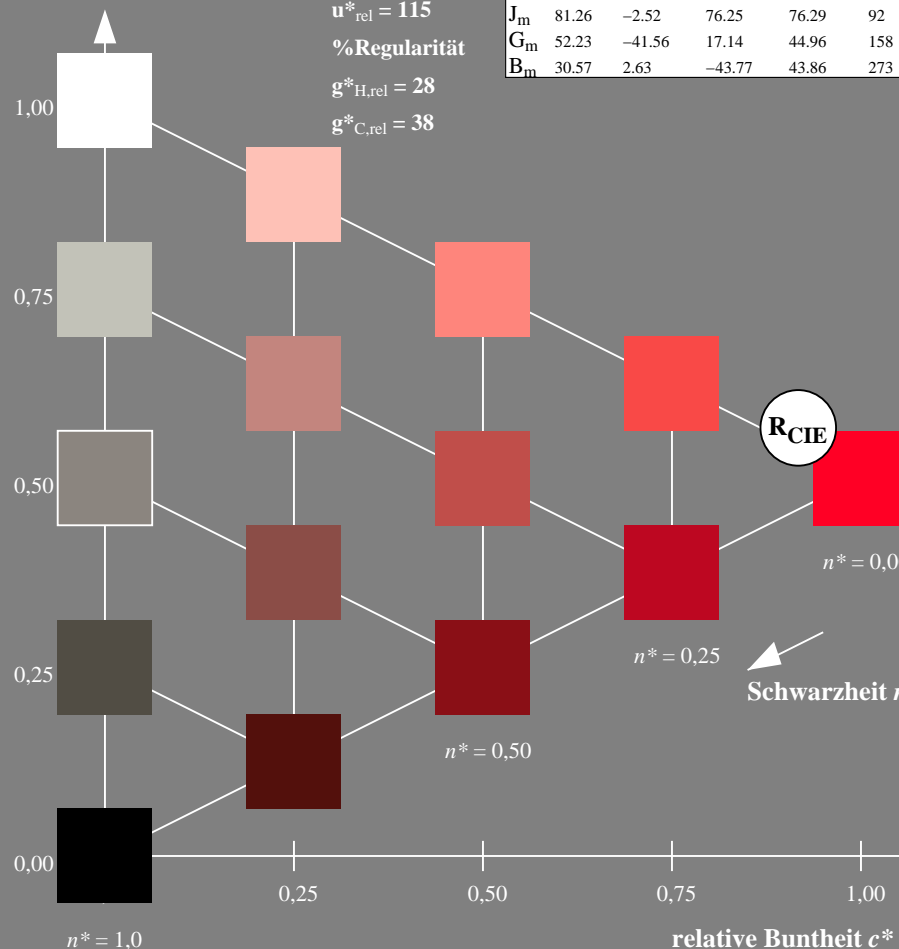
D65: Buntton R
LCH*Ma: 33 73 27
olv*Ma: 1.0 0.0 0.16



FRS06; adaptierte CIELAB-Daten

| | $L^*=L^*_a$ | a^*_a | b^*_a | $C^*_{ab,a}$ | $h^*_{ab,a}$ |
|----------------|-------------|---------|---------|--------------|--------------|
| O _m | 32.57 | 62.32 | 46.49 | 77.75 | 37 |
| Y _m | 82.73 | -3.16 | 113.99 | 114.03 | 92 |
| L _m | 39.43 | -61.79 | 45.84 | 76.95 | 143 |
| C _m | 47.86 | -26.79 | -34.24 | 43.49 | 232 |
| V _m | 10.16 | 55.12 | -61.03 | 82.24 | 312 |
| M _m | 34.5 | 80.68 | -33.92 | 87.52 | 337 |
| N _m | 6.25 | 0.0 | 0.0 | 0.0 | 0 |
| W _m | 91.97 | 0.0 | 0.0 | 0.0 | 0 |
| R _m | 39.92 | 59.8 | 31.05 | 67.38 | 27 |
| J _m | 81.26 | -2.52 | 76.25 | 76.29 | 92 |
| G _m | 52.23 | -41.56 | 17.14 | 44.96 | 158 |
| B _m | 30.57 | 2.63 | -43.77 | 43.86 | 273 |

Dreiecks-Helligkeit t^*

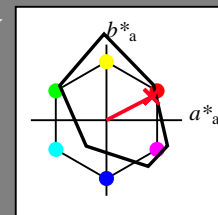


VG220-7, 5 stufige Reihen für konstanten CIELAB Buntton 27/360 = 0.076 (links)

Ausgabe: Farbmétrisches Drucker-Reflektiv-System FRS06

für Buntton $h^* = lab^*h = 27/360 = 0.076$
 LAB^*LCH , LAB^*NCH

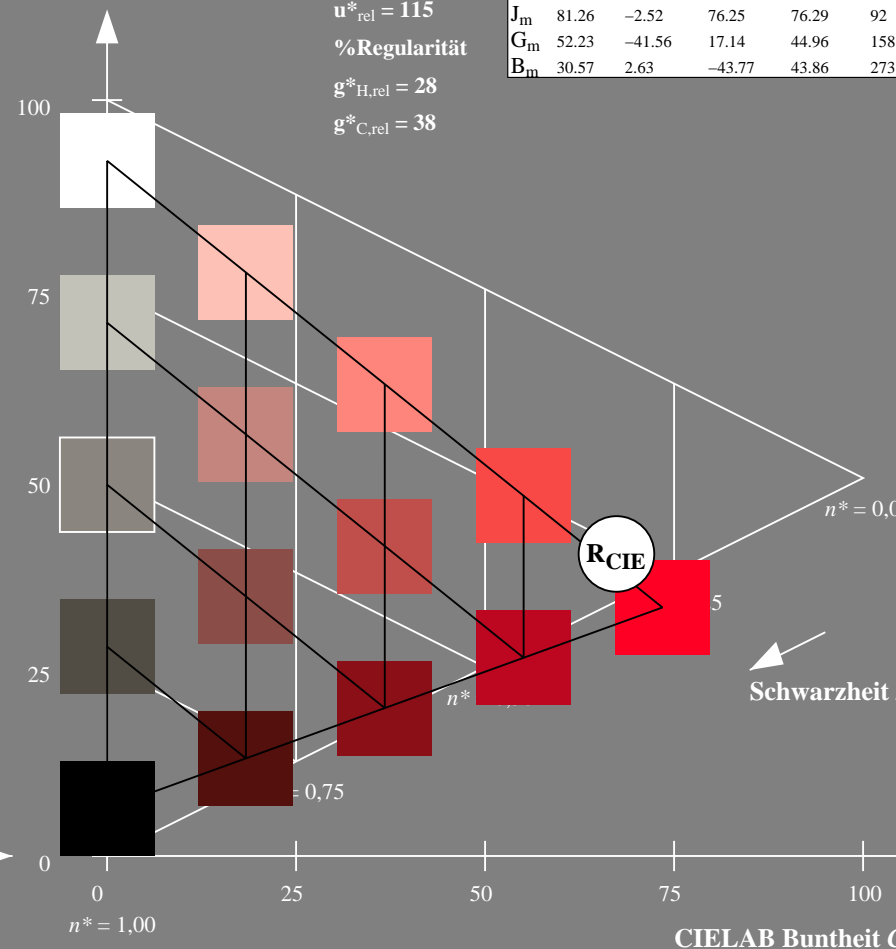
D65: Buntton R
LCH*Ma: 33 73 27
olv*Ma: 1.0 0.0 0.16



FRS06; adaptierte CIELAB-Daten

| | $L^*=L^*_a$ | a^*_a | b^*_a | $C^*_{ab,a}$ | $h^*_{ab,a}$ |
|----------------|-------------|---------|---------|--------------|--------------|
| O _m | 32.57 | 62.32 | 46.49 | 77.75 | 37 |
| Y _m | 82.73 | -3.16 | 113.99 | 114.03 | 92 |
| L _m | 39.43 | -61.79 | 45.84 | 76.95 | 143 |
| C _m | 47.86 | -26.79 | -34.24 | 43.49 | 232 |
| V _m | 10.16 | 55.12 | -61.03 | 82.24 | 312 |
| M _m | 34.5 | 80.68 | -33.92 | 87.52 | 337 |
| N _m | 6.25 | 0.0 | 0.0 | 0.0 | 0 |
| W _m | 91.97 | 0.0 | 0.0 | 0.0 | 0 |
| R _m | 39.92 | 59.8 | 31.05 | 67.38 | 27 |
| J _m | 81.26 | -2.52 | 76.25 | 76.29 | 92 |
| G _m | 52.23 | -41.56 | 17.14 | 44.96 | 158 |
| B _m | 30.57 | 2.63 | -43.77 | 43.86 | 273 |

CIELAB-Helligkeit L^*



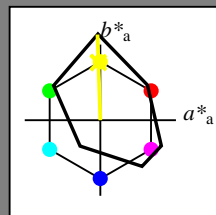
5 stufige Reihen für konstanten CIELAB Buntton 27/360 = 0.076 (rechts)

BAM-Prüfvorlage VG22; Farbmétrik-Systeme FRS06 & FRS06 input: $olv^*setrgbcolor$
D65: Koordinatensysteme; 5stufige Farbreihen für 10 Bunttöne output: olv^* (TRI9) $setrgbcolor$

Eingabe: Farbmétrisches Drucker-Reflektiv-System FRS06

für Buntton $h^* = lab^*h = 92/360 = 0.255$
 lab^*tch und lab^*nch

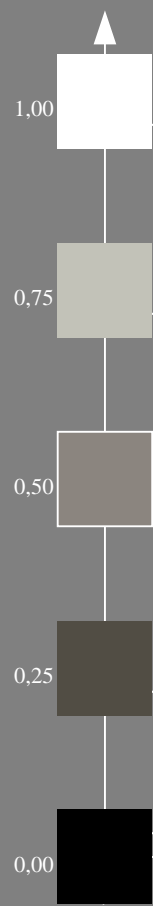
D65: Buntton J
LCH*Ma: 82 113 92
olv*Ma: 0.99 1.0 0.0



FRS06; adaptierte CIELAB-Daten

| | $L^*=L^*_a$ | a^*_a | b^*_a | $C^*_{ab,a}$ | $h^*_{ab,a}$ |
|----------------|-------------|---------|---------|--------------|--------------|
| O _m | 32.57 | 62.32 | 46.49 | 77.75 | 37 |
| Y _m | 82.73 | -3.16 | 113.99 | 114.03 | 92 |
| L _m | 39.43 | -61.79 | 45.84 | 76.95 | 143 |
| C _m | 47.86 | -26.79 | -34.24 | 43.49 | 232 |
| V _m | 10.16 | 55.12 | -61.03 | 82.24 | 312 |
| M _m | 34.5 | 80.68 | -33.92 | 87.52 | 337 |
| N _m | 6.25 | 0.0 | 0.0 | 0.0 | 0 |
| W _m | 91.97 | 0.0 | 0.0 | 0.0 | 0 |
| R _m | 39.92 | 59.8 | 31.05 | 67.38 | 27 |
| J _m | 81.26 | -2.52 | 76.25 | 76.29 | 92 |
| G _m | 52.23 | -41.56 | 17.14 | 44.96 | 158 |
| B _m | 30.57 | 2.63 | -43.77 | 43.86 | 273 |

Dreiecks-Helligkeit t^*



%Umfang
 $u^*_{rel} = 115$
%Regularität
 $g^*_{H,rel} = 28$
 $g^*_{C,rel} = 38$

J_{CIE}

$n^* = 0,00$

$n^* = 0,25$

$n^* = 0,50$

Schwarzheit n^*

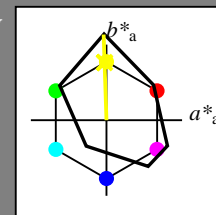
relative Buntheit c^*

VG220-7, 5 stufige Reihen für konstanten CIELAB Buntton $92/360 = 0.255$ (links)

Ausgabe: Farbmétrisches Drucker-Reflektiv-System FRS06

für Buntton $h^* = lab^*h = 92/360 = 0.255$
 LAB^*LCH , LAB^*NCH

D65: Buntton J
LCH*Ma: 82 113 92
olv*Ma: 0.99 1.0 0.0



FRS06; adaptierte CIELAB-Daten

| | $L^*=L^*_a$ | a^*_a | b^*_a | $C^*_{ab,a}$ | $h^*_{ab,a}$ |
|----------------|-------------|---------|---------|--------------|--------------|
| O _m | 32.57 | 62.32 | 46.49 | 77.75 | 37 |
| Y _m | 82.73 | -3.16 | 113.99 | 114.03 | 92 |
| L _m | 39.43 | -61.79 | 45.84 | 76.95 | 143 |
| C _m | 47.86 | -26.79 | -34.24 | 43.49 | 232 |
| V _m | 10.16 | 55.12 | -61.03 | 82.24 | 312 |
| M _m | 34.5 | 80.68 | -33.92 | 87.52 | 337 |
| N _m | 6.25 | 0.0 | 0.0 | 0.0 | 0 |
| W _m | 91.97 | 0.0 | 0.0 | 0.0 | 0 |
| R _m | 39.92 | 59.8 | 31.05 | 67.38 | 27 |
| J _m | 81.26 | -2.52 | 76.25 | 76.29 | 92 |
| G _m | 52.23 | -41.56 | 17.14 | 44.96 | 158 |
| B _m | 30.57 | 2.63 | -43.77 | 43.86 | 273 |

CIELAB-Helligkeit L^*



%Umfang
 $u^*_{rel} = 115$
%Regularität
 $g^*_{H,rel} = 28$
 $g^*_{C,rel} = 38$

J_{CIE}

$n^* = 0,00$

$n^* = 0,25$

$n^* = 0,50$

$n^* = 0,75$

Schwarzheit n^*

CIELAB Buntheit C^*_{ab}

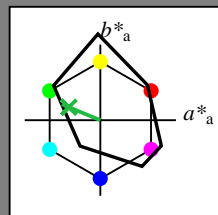
5 stufige Reihen für konstanten CIELAB Buntton $92/360 = 0.255$ (rechts)

BAM-Prüfvorlage VG22; Farbmétrische Systeme FRS06 & FRS06 input: $olv^*setrgbcolor$
D65: Koordinatensysteme; 5stufige Farbreihen für 10 Bunttöne output: olv^* (TRI9) $setrgbcolor$

Eingabe: Farbmétrisches Drucker-Reflektiv-System FRS06

für Buntton $h^* = lab \cdot h = 158/360 = 0.438$
 $lab \cdot tch$ und $lab \cdot nch$

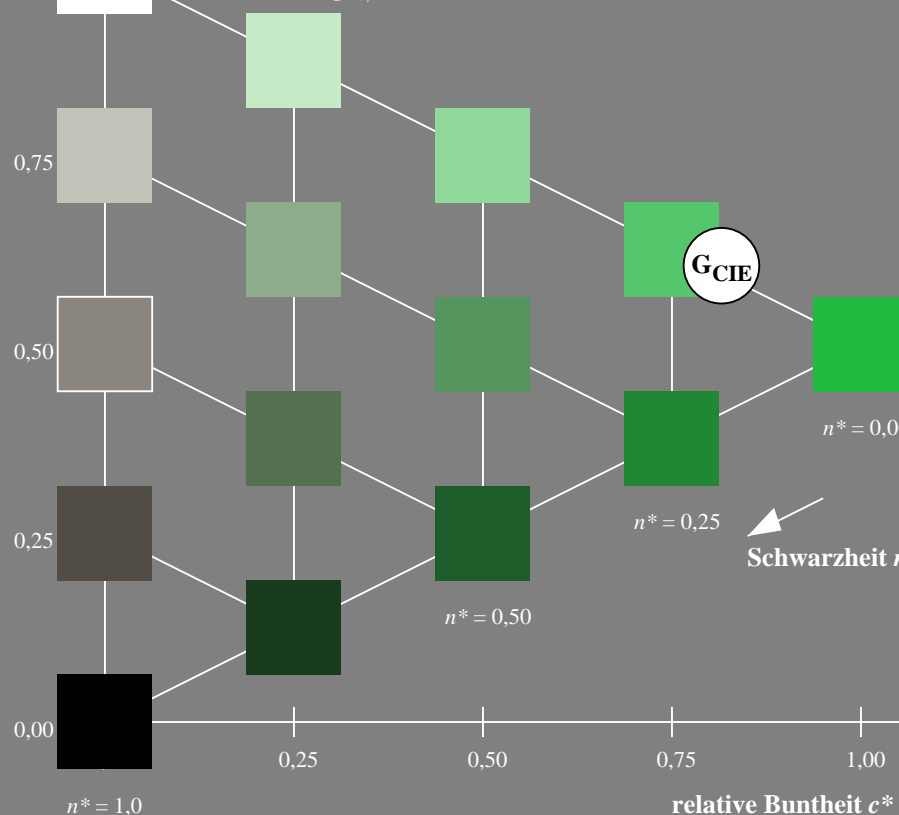
D65: Buntton G
LCH*Ma: 42 55 158
olv*Ma: 0.0 1.0 0.31



| FRS06; adaptierte CIELAB-Daten | | | | | |
|--------------------------------|-------------|---------|---------|--------------|--------------|
| | $L^*=L^*_a$ | a^*_a | b^*_a | $C^*_{ab,a}$ | $h^*_{ab,a}$ |
| O _m | 32.57 | 62.32 | 46.49 | 77.75 | 37 |
| Y _m | 82.73 | -3.16 | 113.99 | 114.03 | 92 |
| L _m | 39.43 | -61.79 | 45.84 | 76.95 | 143 |
| C _m | 47.86 | -26.79 | -34.24 | 43.49 | 232 |
| V _m | 10.16 | 55.12 | -61.03 | 82.24 | 312 |
| M _m | 34.5 | 80.68 | -33.92 | 87.52 | 337 |
| N _m | 6.25 | 0.0 | 0.0 | 0.0 | 0 |
| W _m | 91.97 | 0.0 | 0.0 | 0.0 | 0 |
| R _m | 39.92 | 59.8 | 31.05 | 67.38 | 27 |
| J _m | 81.26 | -2.52 | 76.25 | 76.29 | 92 |
| G _m | 52.23 | -41.56 | 17.14 | 44.96 | 158 |
| B _m | 30.57 | 2.63 | -43.77 | 43.86 | 273 |

Dreiecks-Helligkeit t^*

%Umfang
 $u^*_{rel} = 115$
%Regularität
 $g^*_{H,rel} = 28$
 $g^*_{C,rel} = 38$

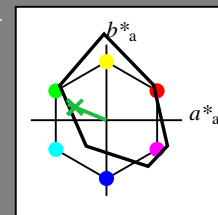


VG220-7, 5 stufige Reihen für konstanten CIELAB Buntton 158/360 = 0.438 (links)

Ausgabe: Farbmétrisches Drucker-Reflektiv-System FRS06

für Buntton $h^* = lab \cdot h = 158/360 = 0.438$
 $LAB \cdot LCH$, $LAB \cdot NCH$

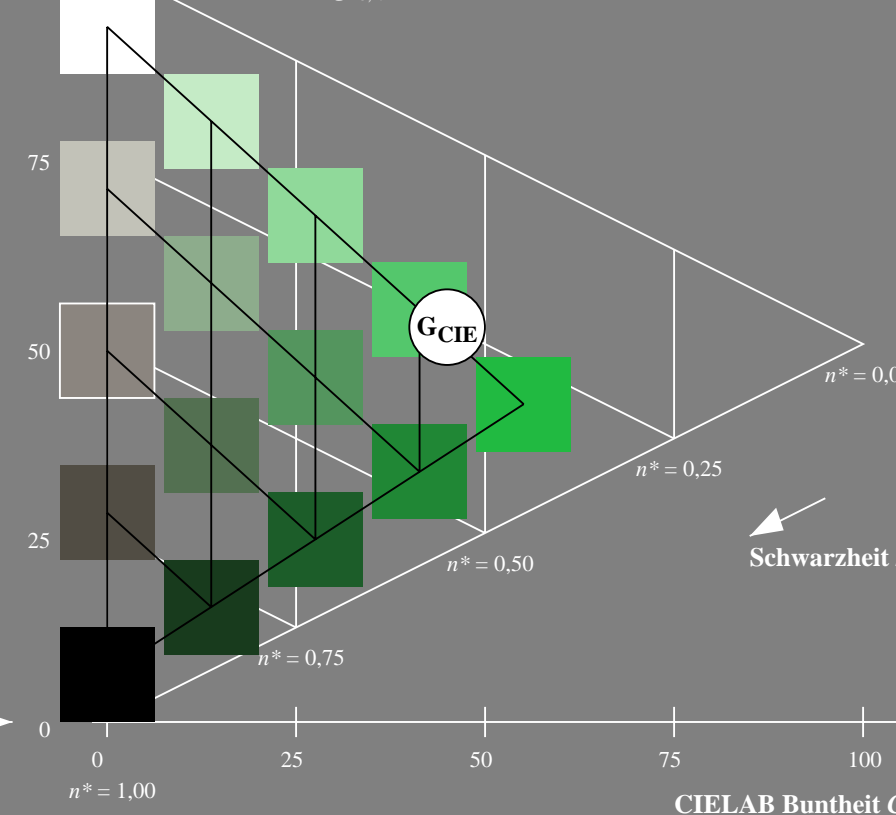
D65: Buntton G
LCH*Ma: 42 55 158
olv*Ma: 0.0 1.0 0.31



| FRS06; adaptierte CIELAB-Daten | | | | | |
|--------------------------------|-------------|---------|---------|--------------|--------------|
| | $L^*=L^*_a$ | a^*_a | b^*_a | $C^*_{ab,a}$ | $h^*_{ab,a}$ |
| O _m | 32.57 | 62.32 | 46.49 | 77.75 | 37 |
| Y _m | 82.73 | -3.16 | 113.99 | 114.03 | 92 |
| L _m | 39.43 | -61.79 | 45.84 | 76.95 | 143 |
| C _m | 47.86 | -26.79 | -34.24 | 43.49 | 232 |
| V _m | 10.16 | 55.12 | -61.03 | 82.24 | 312 |
| M _m | 34.5 | 80.68 | -33.92 | 87.52 | 337 |
| N _m | 6.25 | 0.0 | 0.0 | 0.0 | 0 |
| W _m | 91.97 | 0.0 | 0.0 | 0.0 | 0 |
| R _m | 39.92 | 59.8 | 31.05 | 67.38 | 27 |
| J _m | 81.26 | -2.52 | 76.25 | 76.29 | 92 |
| G _m | 52.23 | -41.56 | 17.14 | 44.96 | 158 |
| B _m | 30.57 | 2.63 | -43.77 | 43.86 | 273 |

CIELAB-Helligkeit L^*

%Umfang
 $u^*_{rel} = 115$
%Regularität
 $g^*_{H,rel} = 28$
 $g^*_{C,rel} = 38$



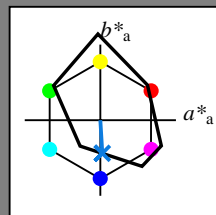
5 stufige Reihen für konstanten CIELAB Buntton 158/360 = 0.438 (rechts)

BAM-Prüfvorlage VG22; Farbmétrik-Systeme FRS06 & FRS06 input: $olv \cdot setrgbcolor$
D65: Koordinatensysteme; 5stufige Farbreihen für 10 Bunttöne output: $olv \cdot (TRI9) setrgbcolor$

Eingabe: Farbmétrisches Drucker-Reflektiv-System FRS06

für Buntton $h^* = lab \cdot h = 273/360 = 0.76$
 $lab \cdot tch$ und $lab \cdot nch$

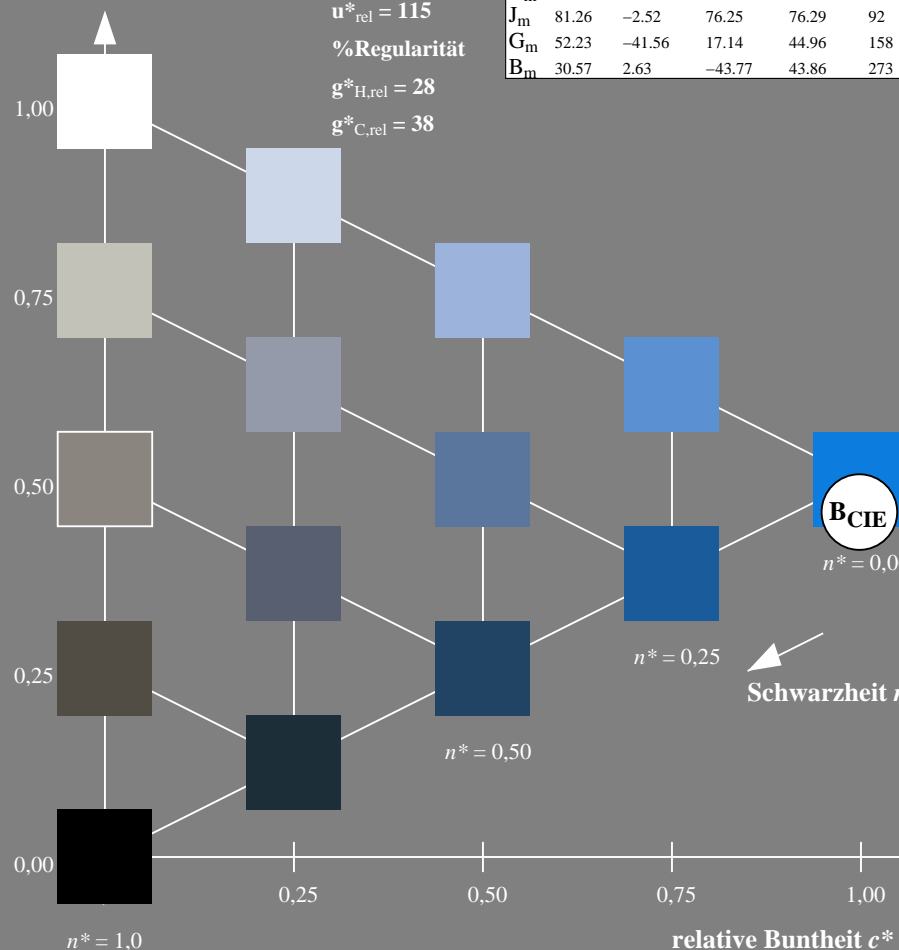
D65: Buntton B
LCH*Ma: 34 44 273
olv*Ma: 0.0 0.64 1.0



FRS06; adaptierte CIELAB-Daten

| | $L^*=L^*_a$ | a^*_a | b^*_a | $C^*_{ab,a}$ | $h^*_{ab,a}$ |
|----------------|-------------|---------|---------|--------------|--------------|
| O _m | 32.57 | 62.32 | 46.49 | 77.75 | 37 |
| Y _m | 82.73 | -3.16 | 113.99 | 114.03 | 92 |
| L _m | 39.43 | -61.79 | 45.84 | 76.95 | 143 |
| C _m | 47.86 | -26.79 | -34.24 | 43.49 | 232 |
| V _m | 10.16 | 55.12 | -61.03 | 82.24 | 312 |
| M _m | 34.5 | 80.68 | -33.92 | 87.52 | 337 |
| N _m | 6.25 | 0.0 | 0.0 | 0.0 | 0 |
| W _m | 91.97 | 0.0 | 0.0 | 0.0 | 0 |
| R _m | 39.92 | 59.8 | 31.05 | 67.38 | 27 |
| J _m | 81.26 | -2.52 | 76.25 | 76.29 | 92 |
| G _m | 52.23 | -41.56 | 17.14 | 44.96 | 158 |
| B _m | 30.57 | 2.63 | -43.77 | 43.86 | 273 |

Dreiecks-Helligkeit t^*

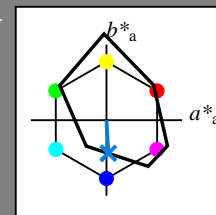


VG220-7, 5 stufige Reihen für konstanten CIELAB Buntton 273/360 = 0.76 (links)

Ausgabe: Farbmétrisches Drucker-Reflektiv-System FRS06

für Buntton $h^* = lab \cdot h = 273/360 = 0.76$
 $LAB \cdot LCH$, $LAB \cdot NCH$

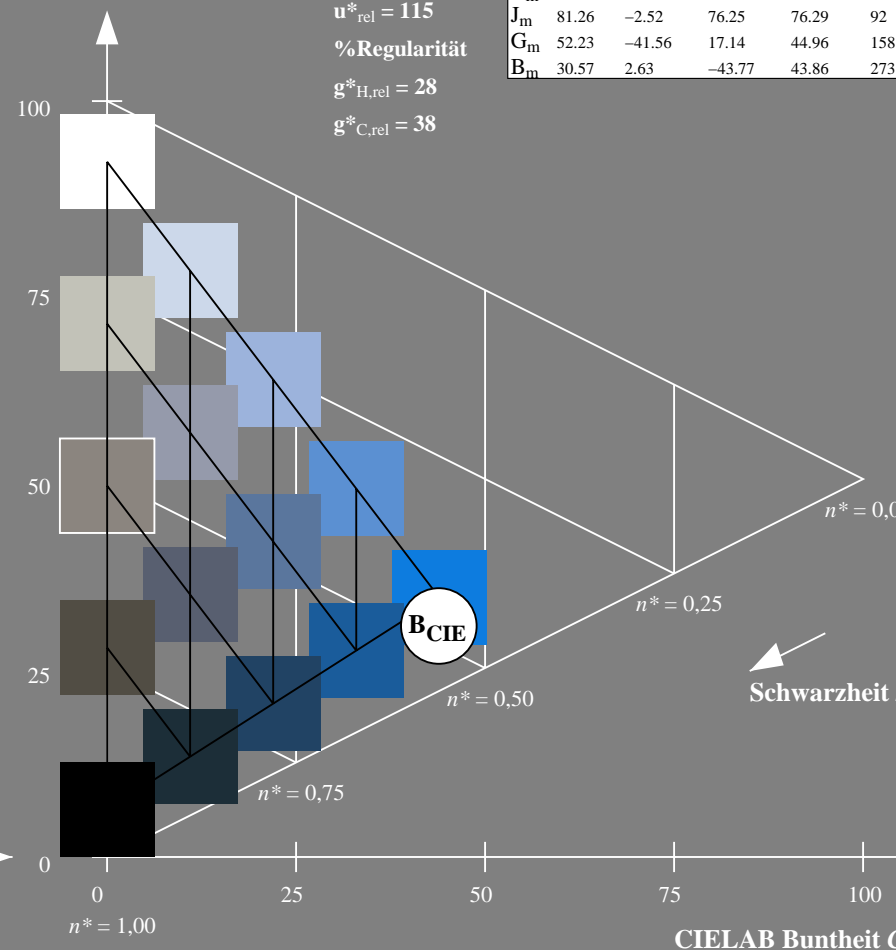
D65: Buntton B
LCH*Ma: 34 44 273
olv*Ma: 0.0 0.64 1.0



FRS06; adaptierte CIELAB-Daten

| | $L^*=L^*_a$ | a^*_a | b^*_a | $C^*_{ab,a}$ | $h^*_{ab,a}$ |
|----------------|-------------|---------|---------|--------------|--------------|
| O _m | 32.57 | 62.32 | 46.49 | 77.75 | 37 |
| Y _m | 82.73 | -3.16 | 113.99 | 114.03 | 92 |
| L _m | 39.43 | -61.79 | 45.84 | 76.95 | 143 |
| C _m | 47.86 | -26.79 | -34.24 | 43.49 | 232 |
| V _m | 10.16 | 55.12 | -61.03 | 82.24 | 312 |
| M _m | 34.5 | 80.68 | -33.92 | 87.52 | 337 |
| N _m | 6.25 | 0.0 | 0.0 | 0.0 | 0 |
| W _m | 91.97 | 0.0 | 0.0 | 0.0 | 0 |
| R _m | 39.92 | 59.8 | 31.05 | 67.38 | 27 |
| J _m | 81.26 | -2.52 | 76.25 | 76.29 | 92 |
| G _m | 52.23 | -41.56 | 17.14 | 44.96 | 158 |
| B _m | 30.57 | 2.63 | -43.77 | 43.86 | 273 |

CIELAB-Helligkeit L^*



5 stufige Reihen für konstanten CIELAB Buntton 273/360 = 0.76 (rechts)

BAM-Prüfvorlage VG22; Farbmétrik-Systeme FRS06 & FRS06 input: $olv \cdot setrgbcolor$
D65: Koordinatensysteme; 5stufige Farbreihen für 10 Bunttöne output: $olv \cdot (TRI9) setrgbcolor$